

## 쇄기형 유전체의 물리광학 근사해를 교정하는 두 수정 방법의 비교

Comparison of two correction schemes to the physical optics solution in case of dielectric wedge

김 세 은\*  
 나 정 용  
 신 상 영

한국과학기술원  
 전기및전자공학과

## Abstract

The electromagnetic wave scattered by an arbitrary-angled dielectric wedge is constructed by physical optics solution and its corrected field. Two models of correction source are obtained; one is multipole line source at tip of wedge and the other is correction electric and magnetic currents distributed along the interfaces of dielectric wedge. Calculated far-field patterns are presented and compared each other.

## 1. 서 론

쇄기형 유전체에 의한 전자파의 산란问题是 간단한 구조임에도 불구하고 경계조건과 모서리 조건에 의해 복잡한 수학문제로 아직 해석적으로 정확한 해를 얻지 못하고 있다.[1] 각각 쇄기형 유전체에서 산란파를 먼저 물리광학 근사법으로 근사해를 구하고 이를 모서리 꿀에 다극선 전원으로 교정하여 모서리에서 멀리 떨어진 곳에서 유용한 해를 계산하였다.[2] 다극선 전원을 수정원으로 임의의 쇄기각의 경우로 확장하여 얻은 결과[3] 를, 모서리 꿀에서 정전기적 극한에서의 모서리 조건을[4] 만족하도록 Neumann 전개된 수정자기전류와 전기전류의 급수를 모서리에서 멀리 떨어진 곳에서 급속히 수렴하도록 변환시켜 얻은 결과와 비교 검토하였다.

## 2. 적분 방정식

그림 1과 같이 임의의 쇄기각  $\theta_d$ 를 갖는 쇄기형 유전체에 모서리와 나란한 방향으로 본극된 평면파  $u_i$ 가 입사시, 산란된 전체 전개  $u$ 를 유전체 내부에서 프리에 변환( $F$ ) 한 파수영역의 함수  $A$ 는 다음과 같은 쌍적분 방정식을 만족한다.

$$F^{-1}[A(\alpha, \beta)] = 0 \quad S_d, \quad (1.a)$$

$$F^{-1}[K(\alpha, \beta)A(\alpha, \beta)] = u_i(\rho, \theta), \quad S_v. \quad (1.b)$$

여기서  $F^{-1}$ 은 역 Fourier 변환으로  $A$ 와  $K$ 는

$$A(\alpha, \beta) = F[H(x \sin\theta_d - y \cos\theta_d)H(y)u(\rho, \theta)], \quad (2.a)$$

$$K(\alpha, \beta) = \frac{\alpha^2 + \beta^2 - k_d^2}{\alpha^2 + \beta^2 - k_v^2} \quad (2.b)$$

으로 정의되며,  $A$ 로 부터 전체전개  $u$ 를 다음과 같이 구할 수 있다.

$$u(\rho, \theta) = \begin{cases} F^{-1}[A(\alpha, \beta)], & S_d, \\ u_i(\rho, \theta) - F^{-1}[K(\alpha, \beta)A(\alpha, \beta)], & S_v. \end{cases} \quad (3.a)$$

$$u(\rho, \theta) = \begin{cases} F^{-1}[A(\alpha, \beta)], & S_d, \\ u_i(\rho, \theta) - F^{-1}[K(\alpha, \beta)A(\alpha, \beta)], & S_v. \end{cases} \quad (3.b)$$

식(2.a)의 양변에  $F(v^2 + k_d^2) F^{-1}$  의 연산을 취하면 파수 영역의 함수  $A$ 에 대하여 다음과 같은 선적분을 얻을 수 있다.

$$\begin{aligned} A(\alpha, \beta) = & \frac{1}{\alpha^2 + \beta^2 - k_d^2} \left[ \int_0^\infty d\rho e^{-i\alpha\rho} \{ i\beta u(\rho, 0) \right. \\ & + \frac{1}{\rho} \frac{\partial}{\partial \theta} u(\rho, 0) \} \\ & + \int_0^\infty d\rho e^{i(\alpha\cos\theta_d + \beta\sin\theta_d)} \{ i(\alpha\sin\theta_d \\ & - \beta\cos\theta_d) u(\rho, \theta_d) - \frac{1}{\rho} \frac{\partial}{\partial \theta} u(\rho, \theta_d) \} \} \end{aligned} \quad (4)$$

### 3. 물리광학 근사

식(1)의 쌍적분 방정식을 해석적으로 푸는 방법이 아직 알려져 있지 않으므로, A의 근사해를 식(4)에서 경계면 위의 전자파를 기하 광학파로 근사하여 먼저 계산하고 이를 식(1)을 써서 수정하자.

그림 2에서와 같은 ray-tracing 방법으로  $c_2$  경계면에 일사한 경우의 기하 광학파  $u_g$ 를 계산하면 다음과 같이 일반적으로 쓸 수 있다.

$$\begin{aligned} u_g(\rho, \theta) &= D(\theta_d, \theta_i) e^{ik_v \rho \cos(\theta - \theta_i)} \\ &+ D(\theta_d, \theta^r) R^o e^{ik_v \rho \cos(\theta - \theta^r)} \\ &+ \sum_{m=1}^{M_e} D(\theta_d, \theta^{2m,t}) K^{2m,t} e^{ik_v \rho \cos(\theta - \theta^{2m,t})} \\ &+ \sum_{m=1}^{M_o} D(\theta^{2m-1,t}, 2\pi) K^{2m-1,t} \\ &\times e^{ik_v \rho \cos(\theta - \theta^{2m-1,t})} \\ &+ \sum_{m=1}^M D(0, \theta_d) K^m e^{ik_d \rho \cos(\theta - \theta^m)} \\ &+ \left[ \begin{array}{l} D(0, \theta^{m+1}); M_e \neq M_o \\ D(\theta^{m+1}, \theta_d); M_e = M_o \end{array} \right] \\ &\times K^{M+1} e^{ik_d \rho \cos(\theta - \theta^{M+1})} \quad (5) \end{aligned}$$

식(5)에서  $m$ 은 유전체 내부에서의 반사횟수로,  $c_1$  면 반사 횟수  $M_o$  와  $c_2$  면 반사횟수  $M_e$  의 합을 의미하며,  $D$ 는 각 ray의 존재영역 (lit region)으로 주어진 transition 각과 경계면 사이에 존재함을 의미한다. transition 각으로  $c_1$  면의 반사각  $\theta^r$ , 유전체 내부 투과각  $\theta^1$ ,  $(2m-1)$  번 내부 반사후 유전체 내부에서 진행하는 각  $\theta^{2m}$ ,  $(2m-1)$  번 내부 반사후  $c_2$  면을 통해 외부로 투과해 나가는 각  $\theta^{2m,t}$ 의 표현을 쓰면 임의의 transition 각은 다음과 같이 쓸 수 있다.

$$\begin{aligned} \theta^r &= 2\theta_d - \theta_i, \quad \theta^1 = \cos^{-1} \left( \frac{1}{\sqrt{\epsilon}} \cos(\theta_i - \theta_d) \right) + \theta_d \\ \theta^{2m-1} &= (2m-2)\theta_d + \theta^1, \quad \theta^{2m-1,t} = \cos^{-1} (\sqrt{\epsilon} \cos \theta^{2m-1}) \\ \theta^{2m} &= -(2m-2)\theta_d - \theta^1, \quad \theta^{2m,t} = \cos^{-1} (\sqrt{\epsilon} \cos(\theta^{2m} - \theta_d)) \\ &+ \theta_d. \quad (6) \end{aligned}$$

단위 명면파  $u_i$  가 입사시 ( $m-1$ ) 번 내부 반사후의 ray의 크기  $K^m$  과, 이 ray가 유전체 밖으로 투과할 때의 ray 크기  $K^{m,t}$  는

$$K^m = T^o R^1 R^2 \dots R^{m-1}, \quad (7.a)$$

$$K^{m,t} = T^o R^1 R^2 \dots R^{m-1} T^m, \quad (7.b)$$

으로 Fresnel 투과계수  $T$ 와 반사계수  $R$ 은 다음과 같이 각 ray의 반사, 투과시에 주어진다.

$$\begin{aligned} T^o &= \frac{2 \sin(\theta_d - \theta_i)}{\sin(\theta_d - \theta_i) + \epsilon - \cos^2(\theta_d - \theta_i)}, \\ R^o &= T^o - 1, \\ T^{m+1} &= \frac{-2 \sin(\theta_l + m\theta_d)}{-\sin(\theta_l + m\theta_d) + \frac{1}{\epsilon} - \cos^2(\theta_l + m\theta_d)}, \end{aligned} \quad (8.a)$$

$$R^{m+1} = T^{m+1} - 1. \quad (8.b)$$

식(4)의  $u$ 를 식(5)의  $u_g$ 로 근사하여 A의 근사해를  $A_p$ 를 계산하고, 이를 식(3)에 대입하여 역 Fourier 변환을 계산하면  $u$ 의 물리광학 근사해  $u_p$ 를 다음과 같이 얻을 수 있다.

$$u_p(\rho, \theta) = u_g(\rho, \theta) + \begin{cases} v_2(\rho, \theta), & s_d \\ v_1(\rho, \theta), & s_v \end{cases} \quad (9.a)$$

$$v_j(\rho, \theta) = \frac{(-1)^{m_i}}{4\pi} \int_{SDP} dw f_j(w) e^{ik_j \rho \cos(w - \theta)} \quad (9.b)$$

여기서

$$\begin{aligned} f_j(w) &= \frac{h_j \sin(\theta_d - w) + \sin(\theta_i - \theta_d)}{h_j \cos(\theta_d - w) - \cos(\theta_i - \theta_d)} \\ &+ R^o \frac{h_j \sin(\theta_d - w) + \sin(\theta^r - w)}{h_j \cos(\theta_d - w) - \cos(\theta^r - w)} \\ &+ \sum_{m=1}^{M_e} K^{2m,t} \frac{h_j \sin(\theta_d - w) + \sin(\theta^{2m,t} - w)}{h_j \cos(\theta_d - w) - \cos(\theta^{2m,t} - w)} \\ &+ \sum_{m=1}^{M_o} K^{2m-1,t} \frac{h_j \sin w + \sin \theta^{2m-1,t}}{h_j \cos w + \cos \theta^{2m-1,t}}, \end{aligned} \quad (10)$$

으로  $j=1, 2$  로서 각각  $h_j = \sqrt{\epsilon}$  및  $f_j = f_1, f_2$  를 의미 한다. 식(10)를 식(9.b)에 대입하여 asymptotic 적 분으로부터  $v_1$  과  $v_2$  는 모서리 회절파임을 보일 수 있어서,  $f_j$  는 회절분포 함수임을 알 수 있다.

## 4. 물리학 근사법의 수정원

$A$ 의 정확한 표현으로  $A_p$ 에 교정항  $A_c$ 를 더하여 표시할 수 있고, 이를 식(1)에 대입하여 교정항  $A_c$ 에 대해 다음과 같은 수정 쌍적분 방정식을 얻을 수 있다.

$$\left[ F^{-1}[KA_c] = u_1 - F^{-1}[KA_p] = v_1, \quad s_d, \quad (11.a) \right]$$

$$\left[ F^{-1}[A_c] = -F^{-1}[A_p] = -v_2, \quad s_v. \quad (11.b) \right]$$

식(11)에서  $A_c$ 를 만드는 수정원으로 두 가지의 모형을 취하기로 하자. 먼저  $v_1$ 과  $v_2$ 는 식(9.b)에서 보인 바와 같이 모서리에서 멀리 떨어진 곳에서 asymptotically 계산하면 모서리 회절파이므로, 수정원을 모서리 끝에 다극선 전원으로 등가시킬 수 있다. 이 다극선 전원의 계수는 식(11)로 부터 수치계산으로 구할 수 있다. 그러나 쇄기형 유전체의 모서리는 수학적으로 특이점이므로, 모서리 끝에서 산란파는 모서리 조건을 만족해야 한다. 쇄기형 유전체의 산란파는 변수분리 형태로 표시하지 않으므로 정확한 모서리 조건은 없으나, static limit에서의 모서리 조건 [4]을 취하여 이를 모서리 끝에서 만족하도록 하는 수정원을 생각할 수 있다. 완전도체 쇄기에서는 정확한 해가 알려져 있으므로 이를 쇄기형 유전체의 경우로 일변화시켜, 한경계면(그림 1에서  $C_1$ )에 분포한 수정자기 전류  $m_1$ 과 수정전기전류  $j_2$ 를 다음과 같이 Bessel 함수의 급수로 전개하면,

$$m_1(\rho) = i \sum_{n=1}^{\infty} a_n J \frac{1}{v} \frac{1}{\rho+n} (\kappa\rho) \quad (12.a)$$

$$j_2(\rho) = \sum_{n=0}^{\infty} b_n \left( \frac{1}{v} + n \right) \frac{1}{\rho} J \frac{1}{v} \frac{1}{\rho+n} (\kappa\rho) \quad (12.b)$$

으로 다른 경계면  $C_2$ 에서도  $m_2$ 와  $j_2$ 를 각각  $c_n$ 과  $d_n$ 의 계수를 취하여 식(12)와 같은 형태로 표연 할 수 있다. 이때  $v$ 는 쇄기형 유전체의 static 모서리 조건으로 쇄기각  $\theta_d$ 와 함께 상대유전상수  $\epsilon$ 를 다음과 같은 관계식으로 만든다.<sup>[5]</sup>

$$\epsilon = - \frac{\tan(\frac{2\pi-\theta_d}{2v})}{\tan(\frac{\theta_d}{2v})} \quad (13)$$

식(12)와 같은 수정원으로부터 교정항  $A_c$ 를 식(5)로 부터 계산하고, 이를 역 Fourier 변환을 취하면,

$$F^{-1}[K(\alpha, \beta)A(\alpha, \beta)] = -\frac{1}{4\pi} \int_{SDP} dw g_1(w) e^{ik_v \rho \cos(w-\theta)}, \quad (14.a)$$

$$F^{-1}[A(\alpha, \beta)] = -\frac{1}{4\pi} \int_{SDP} dw g_2(w) e^{ik_d \rho \cos(w-\theta)}, \quad (14.b)$$

를 얻게 되는데,  $j=1, 2$ 일 때  $g_j = g_1, g_2$ 이고  $k_j = k_v, k_d$ 이며  $h_j = k/k_v, k/k_d$ 를 각각 의미한다고 하면 계수  $a_n, b_n, c_n, d_n$ 을 갖는 급수형태로  $g_j$ 를 나타낼 수 있으나, 모서리로 부터 멀리 떨어진 곳, 즉 복소  $w$  평면의 실수축 상에서는 계수의 수렴도가 늦어서 급속히 수렴하는 계수  $A_m, B_m, C_m, D_m$ 를 갖는 급수형태로 변환하면  $g_j$ 를 다음과 같이 쓸 수 있다.

$$g_j(w) = \sum_{m=0}^{\infty} \left[ \left\{ A_m \frac{\sin w}{h_j^2 - \cos^2 w} + B_m \right\} e^{-i/v \sin^{-1}(\frac{1}{h_j} \cos w)} \right. \\ \left. (\sin^{-1}(\frac{1}{h_j} \cos w))^m \right] \\ + \left\{ C_m \frac{\sin(\theta_d - w)}{\sqrt{h_j^2 - \cos^2(\theta_d - w)}} + D_m \right\} \\ e^{-i/v \sin^{-1}(\frac{1}{h_j} \cos(\theta_d - w))} \\ \times \left[ \sin^{-1}(\frac{1}{h_j} \cos(\theta_d - w)) \right]^m \quad (15)$$

식(9.b)와 (14)를 식(11)에 대입하면, 계수  $A_m, B_m, C_m, D_m$ 에 대한 다음과 같은 쌍급수 방정식을 얻을 수 있다.

$$g_1(w) = f_1(w), \quad R_v, \quad , \quad (16.a)$$

$$g_2(w) = f_2(w), \quad R_d, \quad , \quad (16.b)$$

여기서  $R_v, R_d$ 는 유전체 외부와 내부영역의 각각 복소  $w$  평면에서 대응하는 영역을 의미한다. 식(16)을 식(15)에서 주어진 계수들에 대해서 수치해석으로 구하고, 이를 이용하면 교정된 전체전류  $u$ 를 다음과 같이 얻을 수 있다.

$$u(\rho, \theta) = u_g(\rho, \theta) + \begin{cases} u_{d_2}(\rho, \theta), & s_d, \\ u_{d_1}(\rho, \theta), & s_v, \end{cases} \quad (17.a)$$

$$u_{d_j}(\rho, \theta) = -\frac{1}{4\pi} \int_{SDP} dw P_j(w) e^{ik_j \rho \cos(w-\theta)} \quad (17.b)$$

여기서  $j=1,2$  이고  $p_1, p_2$ 는 다음과 같이 주어진다.

$$p_1(w) = f_1(w) - g_1(w) \quad (18.a)$$

$$p_2(w) = g_2(w) - f_2(w) \quad (18.b)$$

### 5. 수치 계산

그림 3은 식(16)에서 주어진 수정 쌍곡수 방정식을 푸는 것으로 a)는 12개의 계수로 전개한 다극선 전원으로, b)는 경계면에 분포된 수정원의 변형된 급수에서 16개의 계수로 부터 구한  $g_1$ 과  $g_2$ 를 보인다. 두경우 모두 수정 쌍곡분 방정식을 잘 만족함을 보이고, 특히 a)에서 보다 b)에서 오차도 적고  $\epsilon = 2$ 일때  $\frac{2}{3}\pi < w < 2\pi$ 에서  $g_1$ 의 파형이  $\epsilon = 5, 10$ 과 유사하여 정확한 해에 더 가까움을 알 수 있다.

그림 4에서는  $\theta_d = 120^\circ, \theta_i = 60^\circ, \epsilon = 5$  일때 모서리로 부터 5파장 ( $\rho = 5\lambda$ ) 떨어진 곳에서 전계의 진폭폐면을  $1^\circ$ 간격으로 그린 것이다. a)는 식(5)에서 주어진 기하광학파  $u_g$ 이고 b)는 물리광학파로 transition 각에서의 불연속은 없어졌으나 두 경계면인  $\theta = 0^\circ, 120^\circ$  근방에서 불연속이 나타난다. c)와 d)는 각각 다극선 전원과 경계면에 분포한 수정원으로 교정한 수정해를 그린 것으로 transition 각과 경계면 근방에서 smooth한 변화를 보인다.

### 6. 결 론

임의의 각을 갖는 쇄기형 유전체에 대한 물리광학해를 간단한 해석함수로 표현하였다. 이를 교정하는 수정원으로 다극선 전원과 모서리 근방에서 far field에서 계산한 결과는 거의 비슷하나 후자의 모형이 수정오차가 적고 정확한 해에 좀 더 근접함을 보았다.

### 참 고 문 헌

1. L. Lewin and I. Sreenivasiah, "Diffraction by a dielectric wedge," Scientific Rep., no. 47, Dept. of Elec. Eng., Univ. of Colorado, 1979
2. C.S. Joo, J.W. Ra, and S.Y. Shin, "Scattering by right angle dielectric wedge," IEEE Trans. AP, Vol. 32, pp. 61-69, 1984

3. S.Y. Kim, J.W. Ra, and S.Y. Shin, "Edge diffraction by dielectric wedge of arbitrary angle," Electro. Lett., Vol. 19, pp. 851-853, 1983
4. J.B. Andersen and V.V. Solodutov, "Field behavior near a dielectric wedge," IEEE Trans. AP, Vol. 26, pp. 598-602, 1978

### 그림 설명

그림 1. 쇄기형 유전체의 구조

그림 2.  $C_2$  면 입사시의 Ray-tracing

그림 3. 물리광학 근사해를 교정하는  $g_1$ 과  $g_2$  폐면

a) 다극선 전원의 경우

b) 경계면에 분포한 수정원의 경우

그림 4. 전계의 진폭폐면 :  $\theta_d = 120^\circ, \theta_i = 60^\circ, \epsilon = 2, \rho = 5\lambda$  :

a) 기하광학파      b) 물리광학파

c) 다극선 전원으로 교정된 수정해

d) 경계면에 분포한 수정원으로 교정된 수정해

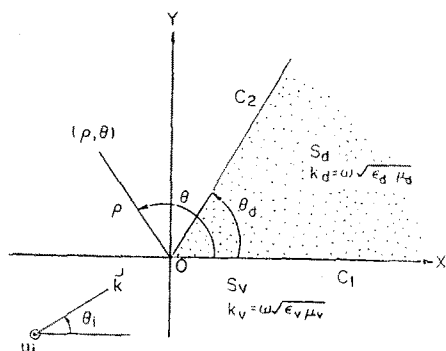


그림1

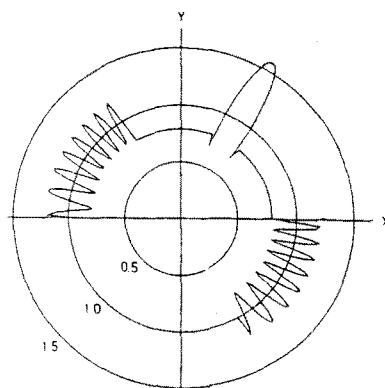


그림4. a

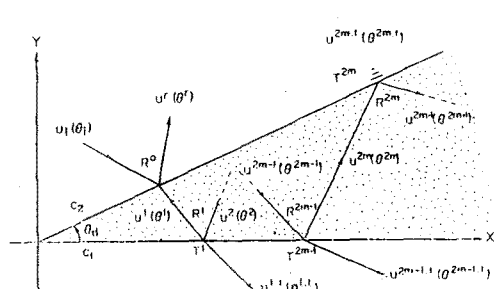


그림2

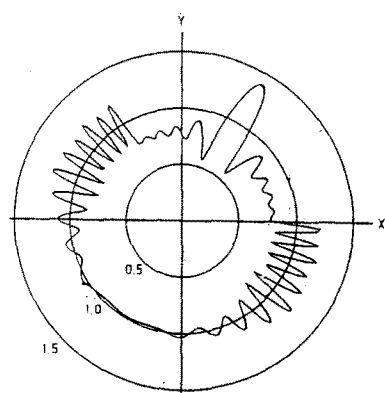


그림4. b

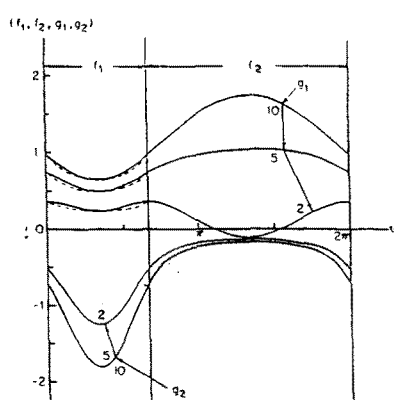


그림3. a

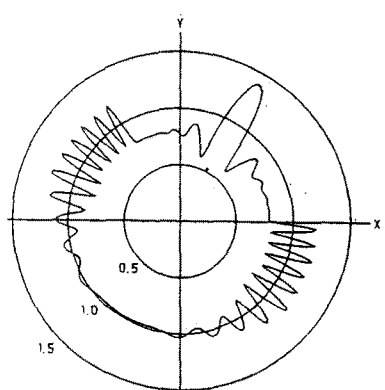


그림4. c

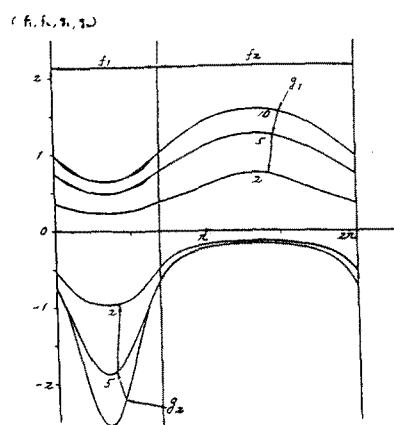


그림3. b

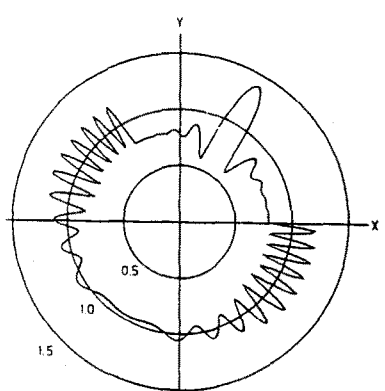


그림4. d